

УДК 539.3

Воздействие нестационарной распределенной нагрузки на поверхность упругого слоя

Кузнецова Е.Л.*, Тарлаковский Д.В.***, Федотенков Г.В.,***Медведский А.Л.

Московский Авиационный Институт (национальный исследовательский университет), МАИ, Волоколамское шоссе, 4, Москва, А-80, ГСП-3, 125993, Россия

*e-mail: vida_ku@mail.ru

**e-mail: tdvhome@mail.ru

***e-mail: greghome@mail.ru

Аннотация

Рассматривается плоская нестационарная задача о воздействии произвольно распределенной поверхностной нагрузки $\mathbf{f}(\xi, t) = [f_1(x, \tau) \quad f_3(x, \tau)]^T$ на тонкослойную обшивку летательного аппарата, моделируемую линейно упругим однородным изотропным слоем постоянной толщины. Движение слоя рассматривается в прямоугольной декартовой системе координат $Oxyz$. Ось Oz направлена вглубь упругого слоя, а Ox - вдоль его свободной поверхности $z = 0$. Предполагается, что внешняя нагрузка не зависит от координаты y , что приводит к плоской постановке задачи. Для решения используется принцип суперпозиции фундаментальных решений, согласно которому перемещения в упругом слое представляются так [1, 2]

$$\mathbf{u}(x, \tau, z) = \int_0^{\tau} \int_{a(t)}^{b(t)} \mathbf{G}(x - \xi, \tau - t, z) \mathbf{f}(\xi, t) d\xi dt,$$

Здесь $\mathbf{G}(x, \tau, z)$ - матрица фундаментальных решений (функций влияния).

Функции влияния являются решением начально-краевых задач о воздействии на границу упругого слоя сосредоточенной нагрузки распределенной по закону $\delta(x)\delta(\tau)$, где δ - дельта-функция Дирака. Для построения функции влияния используются интегральные преобразования Фурье по координате x и Лапласа по времени τ . При этом изображения функций влияния представляются в виде разложений в степенные ряды по экспонентам. Каждый член ряда представляет собой сумму слагаемых в виде произведений однородных степени (-1) рациональных функций от параметров преобразований и квадратных корней $\sqrt{q^2 + s^2}$ и $\sqrt{q^2 + \eta^2 s^2}$ на экспоненту с показателем – линейной комбинации этих корней (q, s - параметры преобразований Фурье и Лапласа соответственно; η - безразмерный параметр, характеризующий свойства материала). Это позволяет использовать метод совместного обращения преобразований Лапласа и Фурье, основанный на построении аналитических представлений изображений [4]. В случае наличия в степени экспоненты одного корня этот алгоритм позволяет получить оригиналы в явном виде. Если степень экспоненты содержит более одного корня, то для получения оригиналов используется модифицированный алгоритм совместного обращения изображений Фурье-Лапласа [3, 5].

Для получения решения разработан и реализован численно-аналитический алгоритм, основанный на методе квадратур [6] и формулах Симпсона. Приведены примеры расчетов.

Ключевые слова: тонкослойная обшивка летательных аппаратов, нестационарные воздействия, упругие волны, интегральные преобразования,

функции влияния упругого слоя, численно-аналитический алгоритм обращения
интегральных преобразований

Введение

Конструктивные элементы обшивки современных самолетов и космических аппаратов состоят, как правило, из нескольких слоев. Обычно они включают слой несущей наружной обшивки, выполненный из металлического сплава или композиционного материала, несущую конструкцию внутреннего каркаса слой жесткого теплоизоляционного материала и внутреннюю обшивку. В процессе эксплуатации слой наружной обшивки подвергается воздействию различного типа внешних нагрузок. При проектировании современных ЛА все большее значение приобретают высокоточные методы расчета нестационарного напряженно-деформированного состояния элементов конструкции ЛА и в том числе конструктивных элементов обшивки. В данной работе приводится методика расчета нестационарных волновых полей упругих перемещений, возникающих в слое наружной обшивки ЛА в ответ на воздействие произвольной, изменяющейся во времени внешней нагрузки.

Постановка задачи

В начальный момент времени к поверхности $z = 0$ предварительно невозмущенного линейно упругого слоя, моделирующего наружную обшивку ЛА, толщины h прикладывается нестационарная распределенная нагрузка. Движение слоя рассматривается в прямоугольной декартовой системе координат $Oxyz$. Ось Oz направлена вглубь упругого слоя, а Ox - вдоль его свободной поверхности $z = 0$ (рис. 1). Предполагается, что внешняя нагрузка не зависит от координаты y , что приводит к плоской постановке задачи.

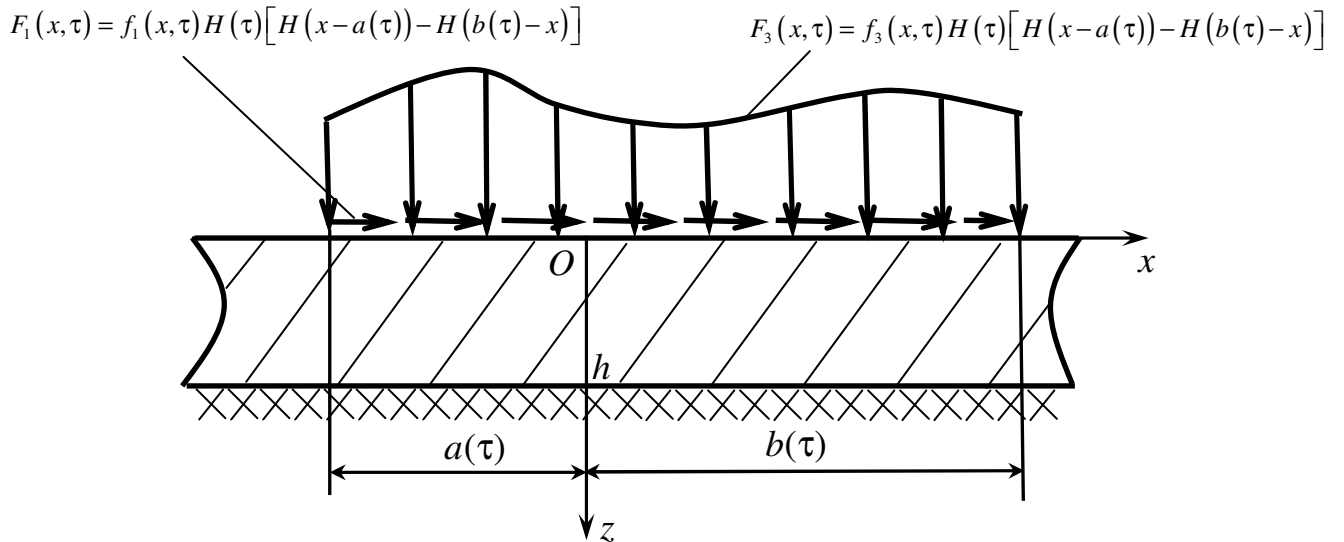


Рис.1.

Границы носителя внешней нагрузки по пространственной переменной в общем случае изменяются во времени по заданным законам: $a(\tau)$ - закон изменения левой границы, $b(\tau)$ - закон изменения правой границы (рис. 1).

В работе используем следующую систему безразмерных величин (при одинаковом начертании они обозначены штрихом, который в дальнейшем опускается):

$$x' = \frac{x}{L}, \quad z' = \frac{z}{L}, \quad \tau = \frac{c_1 t}{L}, \quad \varphi' = \frac{\varphi}{L^2}, \quad \psi' = \frac{\psi}{L^2}, \quad h' = \frac{h}{L}, \quad u' = \frac{u}{L}, \quad w' = \frac{w}{L}, \quad \sigma'_{ij} = \frac{\sigma_{ij}}{\lambda + 2\mu},$$

$$f'_k = \frac{f_k}{\lambda + 2\mu} \quad (k=1,3), \quad c_1^2 = \frac{\lambda + 2\mu}{\rho}, \quad c_2^2 = \frac{\mu}{\rho}, \quad \eta = \frac{c_1}{c_2}, \quad \kappa = \frac{\lambda}{\lambda + 2\mu} = 1 - \frac{2}{\eta^2},$$

где t - размерное время, L - некоторый линейный размер, φ и ψ - скалярный и ненулевая компонента векторного потенциала упругих смещений u вдоль оси Ox и w вдоль оси Oz ; σ_{ij} и f_k - компоненты тензора напряжений и вектора поверхностной нагрузки, c_1 и c_2 - скорости распространения волн растяжения-сжатия и сдвига; λ , μ и ρ - параметры Ламе и плотность среды.

Уравнения движения среды в потенциалах упругих смещений и с учетом плоской постановки задачи имеют вид [1]

$$\ddot{\phi} = \Delta\phi, \quad \ddot{\psi} = \eta^2\Delta\psi, \quad \Delta = \frac{\partial^2}{\partial x^2} + \frac{\partial^2}{\partial z^2}. \quad (1)$$

Связь перемещений и напряжений (указаны лишь напряжения, которые могут входить в граничные условия) с потенциалами определяется соотношениями Коши и законом Гука

$$u = \frac{\partial\phi}{\partial x} - \frac{\partial\psi}{\partial z}, \quad w = \frac{\partial\phi}{\partial z} + \frac{\partial\psi}{\partial x}, \quad (2)$$

$$\sigma_{33} = \frac{\partial w}{\partial z} + \kappa \frac{\partial u}{\partial x}, \quad \sigma_{13} = \frac{1}{\eta^2} \left(\frac{\partial u}{\partial z} + \frac{\partial w}{\partial x} \right).$$

В начальный момент времени среда находится в невозмущенном состоянии, что соответствует однородным начальным условиям

$$\phi|_{\tau=0} = \dot{\phi}|_{\tau=0} = \psi|_{\tau=0} = \dot{\psi}|_{\tau=0} = 0. \quad (3)$$

Для определенности предположим, что нижняя граница упругого слоя жестко закреплена, тогда приходим к следующим граничным условиям

$$\sigma_{33}|_{z=0} = -q(x, \tau), \quad \sigma_{13}|_{z=0} = -p(x, \tau), \quad u|_{z=h} = w|_{z=h} = 0.$$

Метод решения

В основу метода решения положим принцип суперпозиции, согласно которому перемещения в упругом слое представляются так [1, 2]

$$\mathbf{u}(x, \tau, z) = \int_0^\tau \int_{a(t)}^{b(t)} \mathbf{G}(x - \xi, \tau - t, z) \mathbf{f}(\xi, t) d\xi dt, \quad (4)$$

$$\mathbf{u} = \begin{pmatrix} u \\ w \end{pmatrix}, \quad \mathbf{G} = \begin{pmatrix} G_{11} & G_{13} \\ G_{31} & G_{33} \end{pmatrix}, \quad \mathbf{f} = \begin{pmatrix} f_1 \\ f_3 \end{pmatrix}.$$

Здесь G_{ij} - функции влияния упругого слоя, которые представляют собой перемещения как решения задачи (1) – (3) с граничными условиями (задача 1)

$$\sigma_{33}|_{z=0} = 0, \sigma_{13}|_{z=0} = \delta(x)\delta(\tau), u|_{z=h} = w|_{z=h} = 0,$$

или (задача 2)

$$\sigma_{33}|_{z=0} = \delta(x)\delta(\tau), \sigma_{13}|_{z=0} = 0, u|_{z=h} = w|_{z=h} = 0.$$

Здесь $\delta(\bullet)$ - дельта-функция Дирака.

В обозначениях функций влияния упругого слоя первый индекс равный 1 соответствует перемещению по направлению оси Ox , равный 3 - по направлению оси Oz ; второй индекс равный 1 соответствует задаче 1, а равный 3 – задаче 2.

Для построения функции влияния, как решения задач 1-2, используются интегральные преобразования Фурье по координате x и Лапласа по времени τ . В пространстве преобразований Фурье-Лапласа приходим к следующим краевым задачам [3]

$$\frac{d^2\phi^{LF}}{dz^2} - k_1^2(q^2, s^2)\phi^{LF} = 0, \frac{d^2\psi^{LF}}{dz^2} - k_2^2(q^2, s^2)\psi^{LF} = 0, \quad (5)$$

$$k_1(q, s) = \sqrt{q + s}, k_2(q, s) = \sqrt{q + \eta^2 s};$$

$$G_{1k}^{LF} = -iq\phi^{LF} - \frac{d\psi^{LF}}{dz}, G_{3k}^{LF} = \frac{d\phi^{LF}}{dz} - iq\psi^{LF}, \quad (6)$$

$$\sigma_{33}^{LF} = \frac{dG_{3k}^{LF}}{dz} - iq\kappa G_{1k}^{LF}, \sigma_{13}^{LF} = \frac{1}{\eta^2} \left(\frac{dG_{1k}^{LF}}{dz} - iqG_{3k}^{LF} \right);$$

$$\sigma_{33}^{LF}|_{z=0} = \delta_{k3}, \sigma_{13}^{LF}|_{z=0} = \delta_{k1}, G_{11}^{LF}|_{z=h} = G_{31}^{LF}|_{z=h} = 0. \quad (7)$$

Здесь δ_{ij} - символ Кронекера.

Функция влияния G_{33} найдена и исследована в работе [3]. Здесь ограничимся описанием методики построения функции влияния G_{13} .

Решения уравнений (5) имеют вид (A_1 , B_1 , A_2 и B_2 - постоянные интегрирования):

$$\begin{aligned}\varphi^{LF}(q, s, z) &= A_1 e^{zk_1(q^2, s^2)} + B_1 e^{-zk_1(q^2, s^2)} \\ \psi^{LF}(q, s, z) &= A_2 e^{zk_2(q^2, s^2)} + B_2 e^{-zk_2(q^2, s^2)}\end{aligned}$$

Подставляя их в равенства (6), получаем следующие выражения для функций влияния и напряжений:

$$\begin{aligned}G_{13}^{LF}(q, s, z) &= -iq \left[A_1 e^{zk_1(q^2, s^2)} + B_1 e^{-zk_1(q^2, s^2)} \right] - \\ &\quad - k_2(q^2, s^2) \left[A_2 e^{zk_2(q^2, s^2)} - B_2 e^{-zk_2(q^2, s^2)} \right], \\ G_{33}^{LF}(q, s, z) &= k_1(q^2, s^2) \left[A_1 e^{zk_1(q^2, s^2)} - B_1 e^{-zk_1(q^2, s^2)} \right] - \\ &\quad - iq \left[A_2 e^{zk_2(q^2, s^2)} + B_2 e^{-zk_2(q^2, s^2)} \right], \\ \eta^2 \sigma_{33}^{LF}(q, s, z) &= k_3(q^2, s^2) \left[A_1 e^{zk_1(q^2, s^2)} + B_1 e^{-zk_1(q^2, s^2)} \right] - \\ &\quad - 2iqk_2(q^2, s^2) \left[A_2 e^{zk_2(q^2, s^2)} - B_2 e^{-zk_2(q^2, s^2)} \right], \\ \eta^2 \sigma_{13}^{LF}(q, s, z) &= -2iqk_1(q^2, s^2) \left[A_1 e^{zk_1(q^2, s^2)} - B_1 e^{-zk_1(q^2, s^2)} \right] - \\ &\quad - k_3(q^2, s^2) \left[A_2 e^{zk_2(q^2, s^2)} + B_2 e^{-zk_2(q^2, s^2)} \right], \\ k_3(q, s) &= k_2^2(q, s) + q = 2q + \eta^2 s\end{aligned}\tag{8}$$

Используя теперь граничные условия (7), получаем систему линейных алгебраических уравнений относительно постоянных интегрирования, решение которой записываем так:

$$\begin{aligned}A_1 &= \frac{\eta^2 P_0(q^2, s^2; \xi_1, \xi_2)}{D(q^2, s^2; \xi_1, \xi_2)}, \quad A_2 = 2iqk_1(q^2, s^2) \frac{\eta^2 P_2(q^2, s^2; \xi_1, \xi_2)}{D(q^2, s^2; \xi_1, \xi_2)} \\ B_1 &= \frac{\eta^2 P_1(q^2, s^2; \xi_1, \xi_2)}{D(q^2, s^2; \xi_1, \xi_2)}, \quad B_2 = 2iqk_1(q^2, s^2) \frac{\eta^2 P_3(q^2, s^2; \xi_1, \xi_2)}{D(q^2, s^2; \xi_1, \xi_2)}\end{aligned}\tag{9}$$

где

$$\begin{aligned}
\xi_1 &= e^{-hk_1(q^2, s^2)}, \quad \xi_2 = e^{-hk_2(q^2, s^2)}, \\
D(q, s; \xi_1, \xi_2) &= (1 + \xi_1^2 \xi_2^2) D_0(q, s) + (\xi_1^2 + \xi_2^2) D_1(q, s) + \xi_1 \xi_2 D_2(q, s), \\
D_0(q, s) &= -R_{1-}(q, s) R_{2-}(q, s), \quad D_1(q, s) = R_{1+}(q, s) R_{2+}(q, s), \\
D_2(q, s) &= -16qk_1(q, s)k_2(q, s)k_3(q, s), \\
R_{1\pm}(q, s) &= q \pm k_1(q, s)k_2(q, s), \quad R_{2\pm}(q, s) = k_3^2(q, s) \pm 4qk_1(q, s)k_2(q, s), \\
P_0(q, s; \xi_1, \xi_2) &= P_{01}(q, s)\xi_1^2 + P_{03}(q, s)\xi_1\xi_2 + P_{04}(q, s)\xi_1^2\xi_2^2, \\
P_1(q, s; \xi_1, \xi_2) &= P_{10}(q, s) + P_{12}(q, s)\xi_2^2 + P_{13}(q, s)\xi_1\xi_2, \\
P_2(q, s; \xi_1, \xi_2) &= P_{22}(q, s)\xi_2^2 + P_{23}(q, s)\xi_1\xi_2 + P_{24}(q, s)\xi_1^2\xi_2^2, \\
P_3(q, s; \xi_1, \xi_2) &= P_{30}(q, s) + P_{31}(q, s)\xi_1^2 + P_{33}(q, s)\xi_1\xi_2, \\
P_{01}(q, s) &= P_{12}(q, s) = k_3(q, s)R_{1+}(q, s), \\
P_{03}(q, s) &= P_{13}(q, s) = -4qk_1(q, s)k_2(q, s), \\
P_{04}(q, s) &= P_{10}(q, s) = -k_3(q, s)R_{1-}(q, s), \quad P_{22}(q, s) = -P_{31}(q, s) = R_{1+}(q, s), \\
P_{33}(q, s) &= -P_{23}(q, s) = k_3(q, s), \quad P_{24}(q, s) = -P_{30}(q, s) = R_{1-}(q, s).
\end{aligned}$$

Подставляя равенства (9) в (8) определяем трансформанту искомой функции

влияния G_{13}^{LF}

$$\begin{aligned}
G_{13}^{LF}(q, s, z) &= -\frac{iq\eta^2}{D(q^2, s^2; \xi_1, \xi_2)} \left[P_0(q^2, s^2; \xi_1, \xi_2) e^{zk_1(q^2, s^2)} + \right. \\
&+ P_1(q^2, s^2; \xi_1, \xi_2) e^{-zk_1(q^2, s^2)} + 2k_1(q^2, s^2)k_2(q^2, s^2)P_2(q^2, s^2; \xi_1, \xi_2) e^{zk_2(q^2, s^2)} - \\
&\left. - 2k_1(q^2, s^2)k_2(q^2, s^2)P_3(q^2, s^2; \xi_1, \xi_2) e^{-zk_2(q^2, s^2)} \right] \quad (10)
\end{aligned}$$

Вычислить оригинал функции влияния G_{13} непосредственно по его изображению (10) не представляется возможным. Поэтому, учитывая, что в некоторой полуплоскости $\text{Re } s > \alpha_0$ имеют место неравенства $|\xi_1| < 1$ и $|\xi_2| < 1$, используем следующее разложение в степенной ряд:

$$\begin{aligned}
\frac{D_0(q, s)}{D(q, s; \xi_1, \xi_2)} &= \frac{1}{1 + (\xi_1^2 + \xi_2^2)K_1(q, s) + \xi_1\xi_2K_2(q, s) + \xi_1^2\xi_2^2} = \\
&= \sum_{n=0}^{\infty} (-1)^n \left[(\xi_1^2 + \xi_2^2)K_1(q, s) + \xi_1\xi_2K_2(q, s) + \xi_1^2\xi_2^2 \right]^n = \\
&= \sum_{n=0}^{\infty} (-1)^n \sum_{\substack{n_1+n_2+ \\ +n_3+n_4=n}} (n; n_1, n_2, n_3, n_4) K_{n_1 n_2 n_3}(q, s) \xi_1^{2(n_1+n_4)+n_3} \xi_2^{2(n_2+n_4)+n_3},
\end{aligned} \tag{11}$$

где

$$\begin{aligned}
K_1(q, s) &= \frac{D_1(q, s)}{D_0(q, s)}, \quad K_2(q, s) = \frac{D_2(q, s)}{D_0(q, s)}, \\
K_{n_1 n_2 n_3}(q, s) &= K_1^{n_1+n_2}(q, s) K_2^{n_3}(q, s), \quad (n; n_1, n_2, n_3, n_4) = \frac{n!}{n_1! n_2! n_3! n_4!}
\end{aligned}$$

Подставляя ряд (11) в формулу (10), получаем следующее представление для изображения функции влияния:

$$\begin{aligned}
G_{13}^{LF}(q, s, z) &= \sum_{n=0}^{\infty} G_{13n}^{LF}(q, s, z), \quad G_{130}^{LF}(q, s, z) = G_{130, \infty}^{LF}(q, s, z) + G_{130, h}^{LF}(q, s, z), \\
G_{13n}^{LF}(q, s, z) &= (-1)^n G_{130}^{LF}(q, s, z) \sum_{\substack{n_1+n_2+ \\ +n_3+n_4=n}} (n; n_1, n_2, n_3, n_4) K_{n_1 n_2 n_3}(q^2, s^2) \times \\
&\quad \times e^{-[2(n_1+n_4)+n_3]hk_1(q^2, s^2)} e^{-[2(n_2+n_4)+n_3]hk_2(q^2, s^2)}
\end{aligned} \tag{12}$$

Здесь

$$\begin{aligned}
G_{130, \infty}^{LF}(q, s, z) &= G_{130, 1}^{LF}(q, s, z) + G_{130, 2}^{LF}(q, s, z), \\
G_{130, 1}^{LF}(q, s, z) &= \frac{iqk_3(q^2, s^2)}{s^2 Q_3(q^2, s^2)} R_{2+}(q^2, s^2) e^{-k_1(q^2, s^2)z}, \\
G_{130, 2}^{LF}(q, s, z) &= \frac{2iqk_1(q^2, s^2)k_2(q^2, s^2)}{s^2 Q_3(q^2, s^2)} R_{2+}(q^2, s^2) e^{-k_2(q^2, s^2)z},
\end{aligned} \tag{13}$$

$$\eta^2 s Q_3(q, s) = R_{2-}(q, s) R_{2+}(q, s),$$

$$Q_3(q, s) = 8(1 + \kappa)q^3 + 8\eta^2(2 + \kappa)q^2s + 8\eta^4qs^2 + \eta^6s^3;$$

$$\begin{aligned}
G_{130,h}^{LF}(q,s,z) = & \frac{-iq\eta^2}{D_0(q^2,s^2)} \left[P_{01}(q^2,s^2)e^{-k_1(q^2,s^2)(2h-z)} + \right. \\
& + P_{03}(q^2,s^2)e^{-k_1(q^2,s^2)(h-z)}e^{-k_2(q^2,s^2)h} + P_{04}(q^2,s^2)e^{-k_1(q^2,s^2)(2h-z)}e^{-k_2(q^2,s^2)2h} + \\
& + P_{12}(q^2,s^2)e^{-k_2(q^2,s^2)2h}e^{-k_1(q^2,s^2)z} + P_{13}(q^2,s^2)e^{-k_1(q^2,s^2)(h+z)}e^{-k_2(q^2,s^2)h} + \\
& + 2k_1(q^2,s^2)k_2(q^2,s^2)P_{22}(q^2,s^2)e^{-k_2(q^2,s^2)(2h-z)} + \\
& + 2k_1(q^2,s^2)k_2(q^2,s^2)P_{23}(q^2,s^2)e^{-k_1(q^2,s^2)h}e^{-k_2(q^2,s^2)(h-z)} + \\
& + 2k_1(q^2,s^2)k_2(q^2,s^2)P_{24}(q^2,s^2)e^{-k_1(q^2,s^2)2h}e^{-k_2(q^2,s^2)(2h-z)} - \\
& - 2k_1(q^2,s^2)k_2(q^2,s^2)P_{31}(q^2,s^2)e^{-k_1(q^2,s^2)2h}e^{-k_2(q^2,s^2)z} - \\
& \left. - 2k_1(q^2,s^2)k_2(q^2,s^2)P_{33}(q^2,s^2)e^{-k_1(q^2,s^2)h}e^{-k_2(q^2,s^2)(h+z)} \right] \quad (14)
\end{aligned}$$

Как видно из представления (12), каждый член ряда представляет собой сумму слагаемых в виде произведений однородных степени (-1) рациональных функций от параметров преобразований и квадратных корней $k_1(q^2, s^2)$ и $k_2(q^2, s^2)$ на экспоненту с показателем – линейной комбинации этих корней. Это позволяет с помощью замены $q = \lambda s$ представить каждый из членов ряда в виде:

$$f^{LF}(q,s,z) = g^L(s)h_0(\lambda)e^{-s\omega(\lambda)}, \quad g^L(s) = s^{-1} \quad (15)$$

Здесь $h_0(\lambda)$ - рациональная функция от λ и квадратных корней $k_1(\lambda^2, 1)$ и $k_2(\lambda^2, 1)$, а $\omega(\lambda)$ – линейная комбинация этих корней с неотрицательными коэффициентами.

Для таких функций используется метод совместного обращения преобразований Лапласа и Фурье, основанный на построении аналитических представлений изображений [4]. Оригинал функции (15) имеет вид [3,4]:

$$\begin{aligned}
f(x, z_1, z_2, \tau) = & -\frac{1}{2\pi} \left\{ h_0 \left[\mu_+(x, z_1, z_2, \tau) \right] \dot{\mu}_+(x, z_1, z_2, \tau) - \right. \\
& \left. - h_0 \left[\mu_-(x, z_1, z_2, \tau) \right] \dot{\mu}_-(x, z_1, z_2, \tau) \right\} H(\tau - \omega_0), \quad \zeta = x + iy, \\
\lambda(\zeta, z_1, z_2, \tau - \omega_0) = & \mu(\zeta, z_1, z_2, \tau), \quad \mu_{\pm}(x, z_1, z_2, \tau) = \lim_{y \rightarrow \pm 0} \mu(\zeta, z_1, z_2, \tau), \quad (16)
\end{aligned}$$

где $H(\tau)$ - функция Хевисайда, а $\mu(\zeta, z_1, z_2, \tau)$ - функция, неявно задаваемая уравнением

$$\omega(\mu, z_1, z_2) + i\mu\zeta = \tau. \quad (17)$$

В случае наличия в функции $\omega(\lambda, z_1, z_2)$ одного корня этот алгоритм позволяет получить оригиналы в явном виде. Если $\omega(\lambda, z_1, z_2)$ содержит более одного корня, то для получения оригиналов используется модифицированный алгоритм совместного обращения изображений Фурье-Лапласа [3, 5]. Он основан на сведении уравнения (17) к задаче Коши для обыкновенного дифференциального уравнения в комплексной плоскости μ . Интегрирование проводится вдоль прямых с начальной и конечной точками $\mu = iy_*$ и $\mu = x$ (рис. 2):

$$\mu'(\vartheta) = -i\mu(\vartheta) \frac{x - iy_*}{\omega'(\mu) + i\zeta(\vartheta)}, \quad \mu(0) = \mu(iy_*).$$

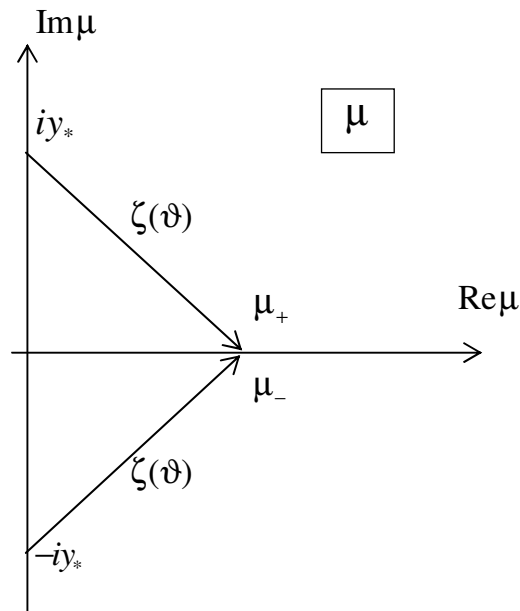


Рис. 2.

После построения функций влияния упругого слоя процесс получения решения сводится к вычислению интегралов в представлении (4). Для этого удобно использовать численный алгоритм.

Алгоритм вычисления перемещений упругого слоя

Для вычисления интегралов входящих в (4) используем численный алгоритм, основанный на методе Симпсона [6]. На пространственно-временную область $R_{t\xi}^2$ наносим ортогональную сетку с равномерным шагом Δ (рис. 3):

$$t_i = i\Delta, \xi_j = j\Delta, R_{t\xi}^2 = \bigcup_i \bigcup_j K_{ij} \quad (i = 0, 1, 2, \dots, j \in Z)$$

$$K_{ij} = \{(t, \xi) \mid t_{i-1} \leq t \leq t_i, \xi_{j-1} \leq \xi \leq \xi_j\}$$

Функциям $u(x, \tau, z)$, $w(x, \tau, z)$, $f_1(x, \tau)$ и $f_3(x, \tau)$ ставим в соответствие сеточные функции $u_{mn}(z) = u_{mn}(x_m, \tau_n, z)$, $w_{mn}(z) = w_{mn}(x_m, \tau_n, z)$, $f_{1mn} = f_1(x_m, \tau_n)$, $f_{3mn} = f_3(x_m, \tau_n)$ ($x_m = m\Delta$, $\tau_n = n\Delta$).

Границу области $\partial D(\tau) = \{a(t) \cup b(t) \mid t \in [0, \tau]\}$ приближенно заменяем кусочно-постоянными функциями $\alpha(t)$ и $\beta(t)$, определяемыми по формулам $\alpha(t) = \Delta[a(t)/\Delta]$, $\beta(t) = \Delta[b(t)/\Delta]$, где $[\cdot]$ означает операцию округления до ближайшего целого числа. В этом случае в момент времени $\tau = t_n$ пространственно-временная область интегрирования $D_n = \{(t, \xi) \mid 0 \leq t \leq t_n, a(t) \leq \xi \leq b(t)\}$

аппроксимируется выпуклым многоугольником B_n , состоящим из объединения

элементарных вертикальных полос $B_n = \bigcup_{i=1}^n \bigcup_{l_i}^{l_{2i-1}} K_{ij}$, $l_{1i} = \alpha_i/\Delta$, $l_{2i} = \beta_i/\Delta$, $\alpha_i = \alpha(t_i)$,

$$\beta_i = \beta(t_i).$$

Для интегралов в (4), используем квадратурные формулы, основанные на методе Симпсона

$$\int_0^{\tau} \int_{a(t)}^{b(t)} G_{lk}(x-\xi, \tau-t, z) f_l(\xi, t) d\xi dt \approx \frac{\Delta^2}{36} \sum_{i=1}^n \sum_{j=l_i}^{l_{2i}} d_{ijmn},$$

$$\begin{aligned} d_{ijmn} = & 16G_{lk}(x_m - \xi_j - 0.5\Delta, \tau_n - t_i - 0.5\Delta, z) f_l(\xi_j + 0.5\Delta, t_i + 0.5\Delta) + \\ & + 4 \left[G_{lk}(x_m - \xi_j - 0.5\Delta, \tau_n - t_i, z) f_l(\xi_j + 0.5\Delta, t_i) + \right. \\ & + G_{lk}(x_m - \xi_j - 0.5\Delta, \tau_n - t_i - \Delta, z) f_l(\xi_j + 0.5\Delta, t_i + \Delta) + \\ & + G_{lk}(x_m - \xi_j, \tau_n - t_i - 0.5\Delta, z) f_l(\xi_j, t_i + 0.5\Delta) + \\ & \left. + G_{lk}(x_m - \xi_j - \Delta, \tau_n - t_i - 0.5\Delta, z) f_l(\xi_j + \Delta, t_i + 0.5\Delta) \right] + \\ & + G_{lk}(x_m - \xi_j, \tau_n - t_i, z) f_l(\xi_j, t_i) + \\ & + G_{lk}(x_m - \xi_j - \Delta, \tau_n - t_i, z) f_l(\xi_j + \Delta, t_i) + \\ & + G_{lk}(x_m - \xi_j, \tau_n - t_i - \Delta, z) f_l(\xi_j, t_i + \Delta) + \\ & + G_{lk}(x_m - \xi_j - \Delta, \tau_n - t_i - \Delta, z) f_l(\xi_j + \Delta, t_i + \Delta), \\ & (l, k = 1, 3). \end{aligned}$$

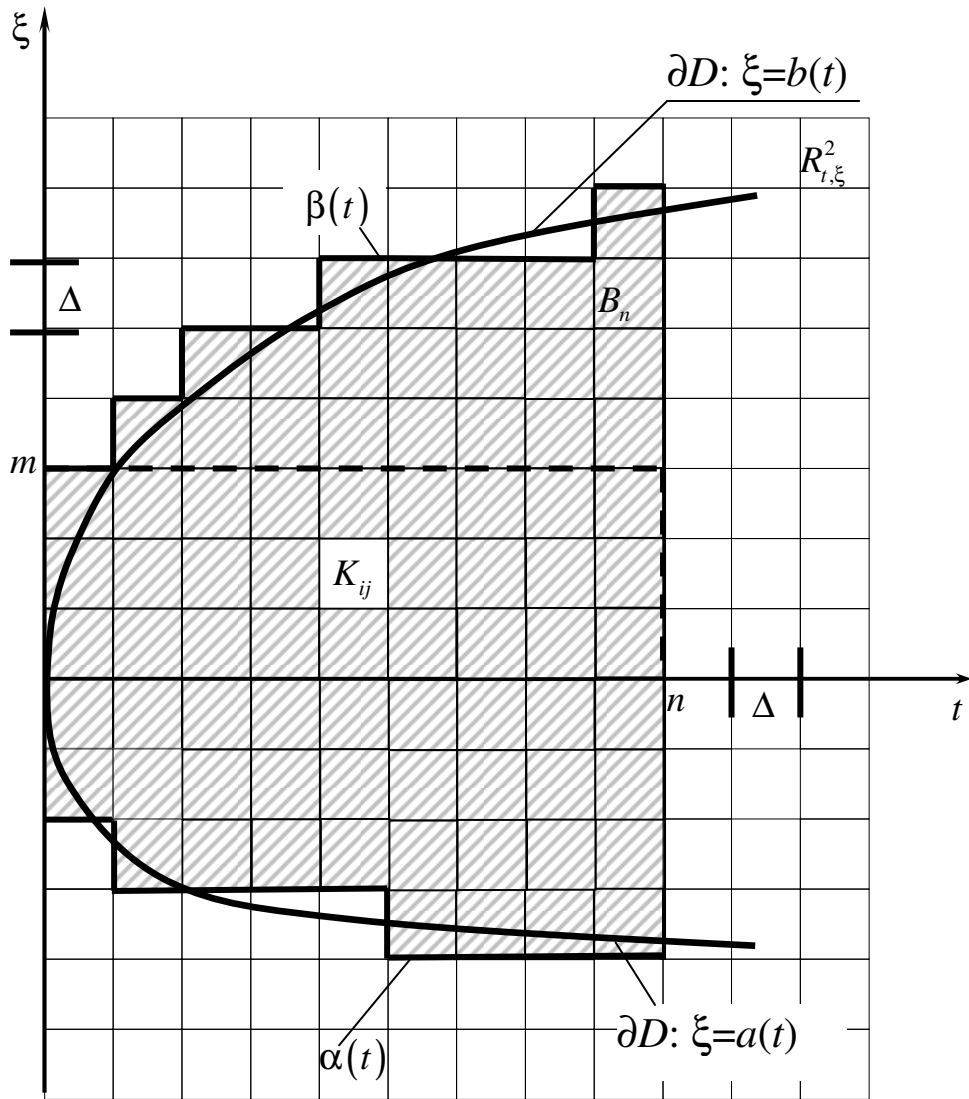


Рис. 3.

Примеры расчетов

В качестве примера рассмотрим различные варианты задачи о воздействии на границу упругого слоя нестационарной нормальной нагрузки

$$-q(x, \tau) = H[x - a(\tau)] - H[b(\tau) - x].$$

Материал слоя обладает следующими безразмерными параметрами: $h = 1$, $\eta = 1.7$ (значение параметра $\eta = 1.7$ соответствует механическим характеристикам низкоуглеродистой стали). Значение безразмерного линейного параметра L принято равным 1.

На рис. 4 представлено распределение нормальных перемещений по координате x при постоянном носителе внешней нагрузки: $-a(\tau) = b(\tau) \equiv 1$. Распределения построены при значении $z = 0.1$. Видно, что в начальные моменты времени перемещения распределяются по близкому к равномерному закону, повторяя профиль нагрузки. Затем отчетливой начинают проявляться волновые эффекты.

На рис. 5 представлены распределения нормальных перемещений, соответствующие симметричному распределению нагрузки по координате x , границы носителя которой расширяются по законам: $-a(\tau) = b(\tau) = \tau^2$ ($z = 0.1$). Из анализа результатов также можно сделать вывод, что с течением времени волновые эффекты начинают оказывать значительное влияние как на характер распределения, так и на значения перемещений.

Аналогичные зависимости представлены на рис. 6 при симметричном расширении границ носителя нагрузки по законам $-a(\tau) = b(\tau) = \sqrt{\tau}$ на глубине $z = 0.1$.

Распределения перемещений на рис. 7 построены при значении $z = 0.2$ и при несимметричном характере расширения границ носителя внешней нагрузки: $a(\tau) = -\tau^2$, $b(\tau) = \sqrt{\tau}$. Как и следовало ожидать, это приводит к несимметричному характеру распределений перемещений.

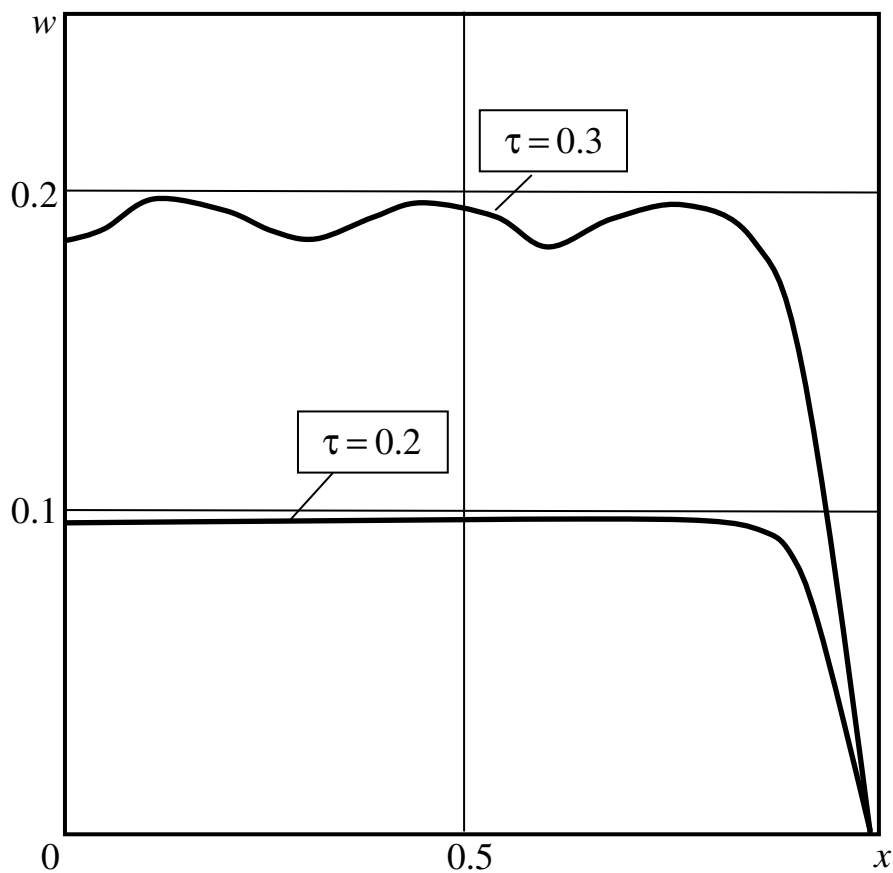


Рис. 4.

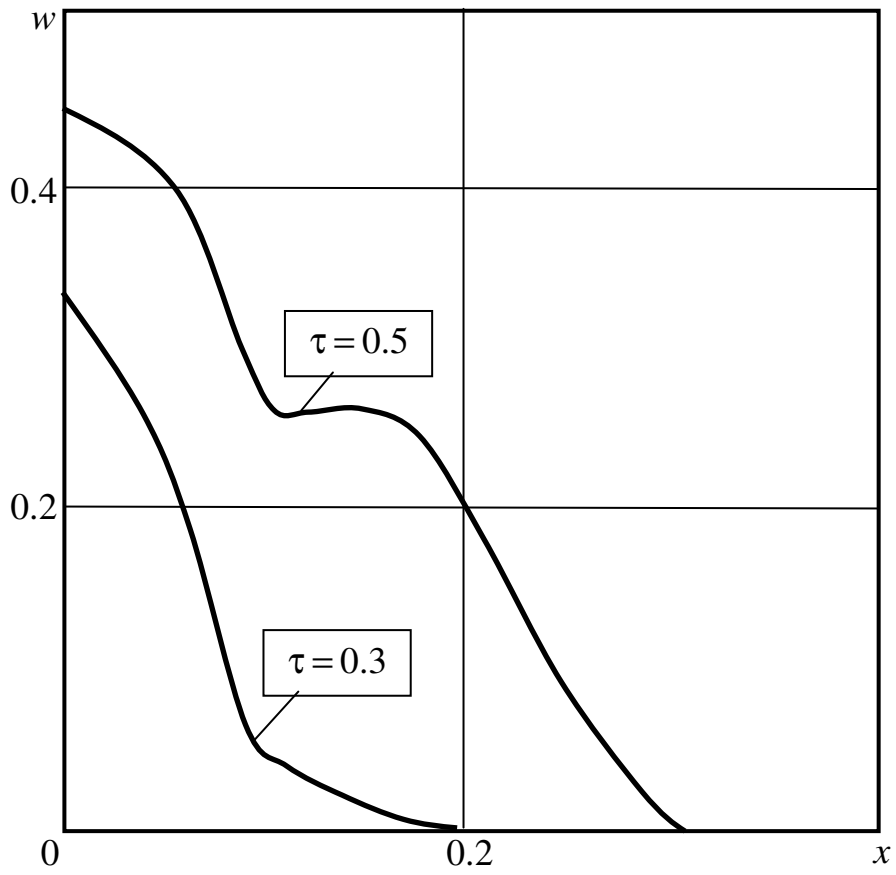


Рис. 5.

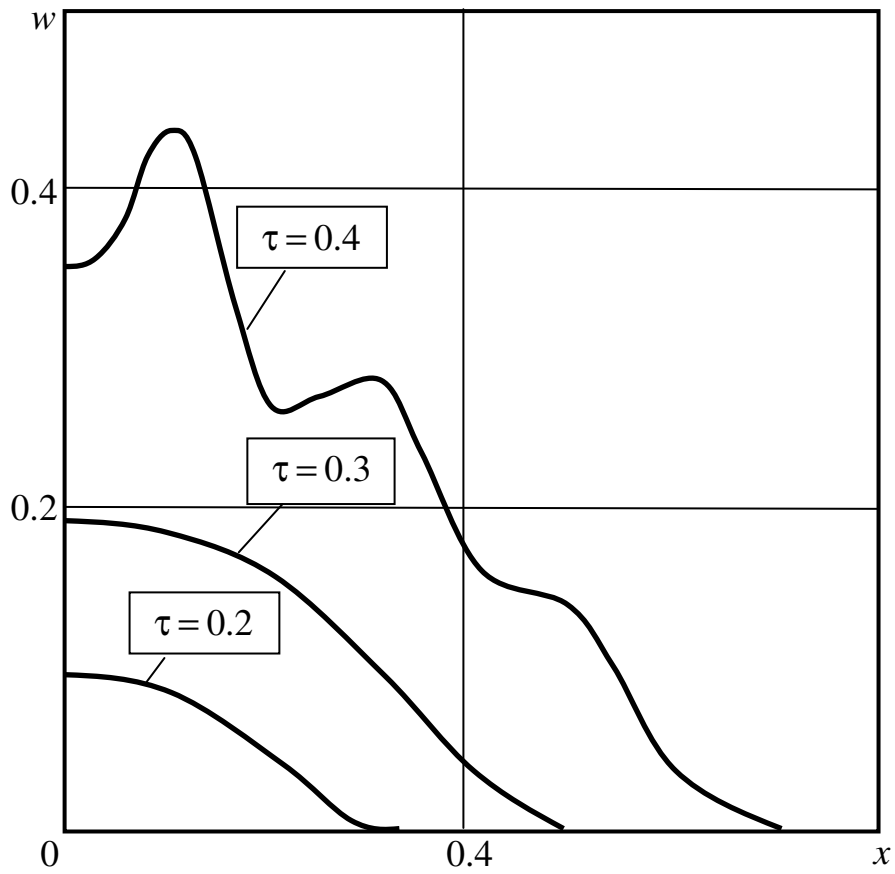


Рис. 6.

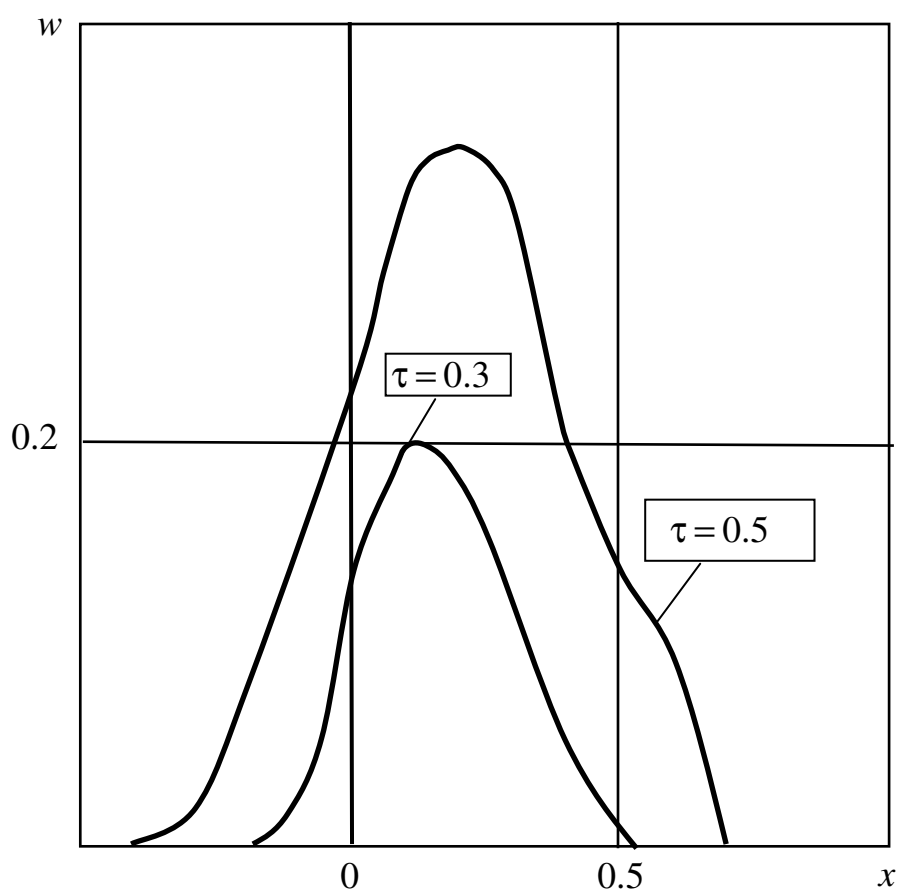


Рис. 7.

Выводы

1. Приведена математическая постановка задач о воздействии нестационарной нагрузки на тонкослойную обшивку летательных аппаратов, моделируемую упругим слоем постоянной толщины.
2. С помощью модифицированного алгоритма совместного обращения интегральных преобразований Фурье-Лапласа построены оригиналы функций влияния упругого изотропного слоя.
3. С использованием принципа суперпозиции фундаментальных решений построены интегральные представления нестационарных решений задач о

воздействии на границу упругого слоя внешней нагрузки, распределенной по произвольному пространственно-временному закону.

4. Разработан и реализован на ЭВМ численный алгоритм расчета нестационарных процессов распространения упругих волн перемещений в слое под влиянием внешних нагрузок.
5. Приведен ряд расчетных примеров и проанализированы результаты.

Работа выполнена в Московском авиационном институте (национальном исследовательском университете) при финансовой поддержке работ по проекту Минобрнауки «Инновационный спускаемый с орбиты аппарат-демонстратор внедрения аэроупругих разворачиваемых при полете в космосе и в атмосфере элементов конструкций в космической технике», а также при поддержке грантов РФФИ № 12-08-31298-мол_а, № **14-08-01169-а**, № 12-01-00273, № 12-01-31220-мол-а, и гранта ФЦП (соглашение № **14.В37.21.0381 от 02.08.2012**).

Библиографический список

1. Горшков А.Г., Медведский А.Л., Рабинский Л.Н., Тарлаковский Д.В. Волны в сплошных средах: Учебное пособие для вузов. М.: Физматлит, 2004. 632 с.
2. Горшков А.Г., Тарлаковский Д.В., Федотенков Г.В. Плоская задача о вертикальном ударе цилиндрической оболочки по упругому полупространству // Известия Российской академии наук. Механика твердого тела. 2000. № 5. С. 151-158.

3. Кузнецова Е.Л., Тарлаковский Д.В., Федотенков Г.В. Распространение нестационарных волн в упругом слое // Известия Российской академии наук. Механика твердого тела. 2011. № 5. С. 144-152.
4. Суворов Е.М., Тарлаковский Д.В., Федотенков Г.В. Плоская задача об ударе твердого тела по полупространству, моделируемому средой Коссера // Прикладная математика и механика. 2012. Т. 76. № 5. С. 850-859.
5. Вестяк В.А., Садков А.С., Тарлаковский Д.В. Распространение нестационарных объемных возмущений в упругой полуплоскости // Известия Российской академии наук. Механика твердого тела. 2011. № 2. С. 130-140.
6. Горшков А.Г., Амар Абдул Карим Салман, Тарлаковский Д.В., Федотенков Г.В. Удар деформируемым цилиндрическим телом по упругому полупространству // Известия Российской академии наук. Механика твердого тела. 2004. № 3. С. 82 - 90.